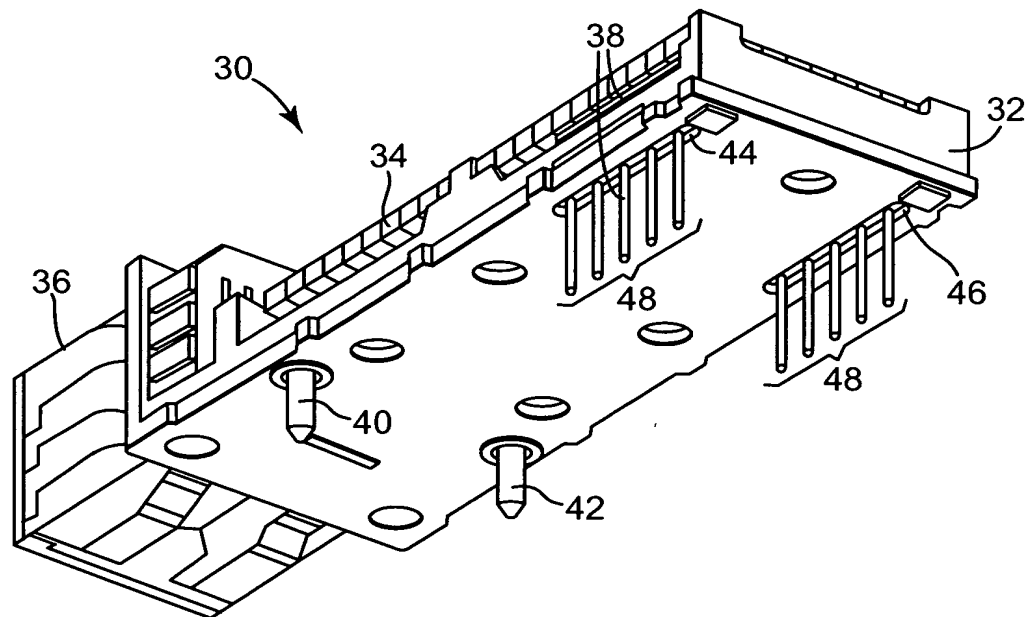


**PIN HEADER**

James Duncan et al.

1/10

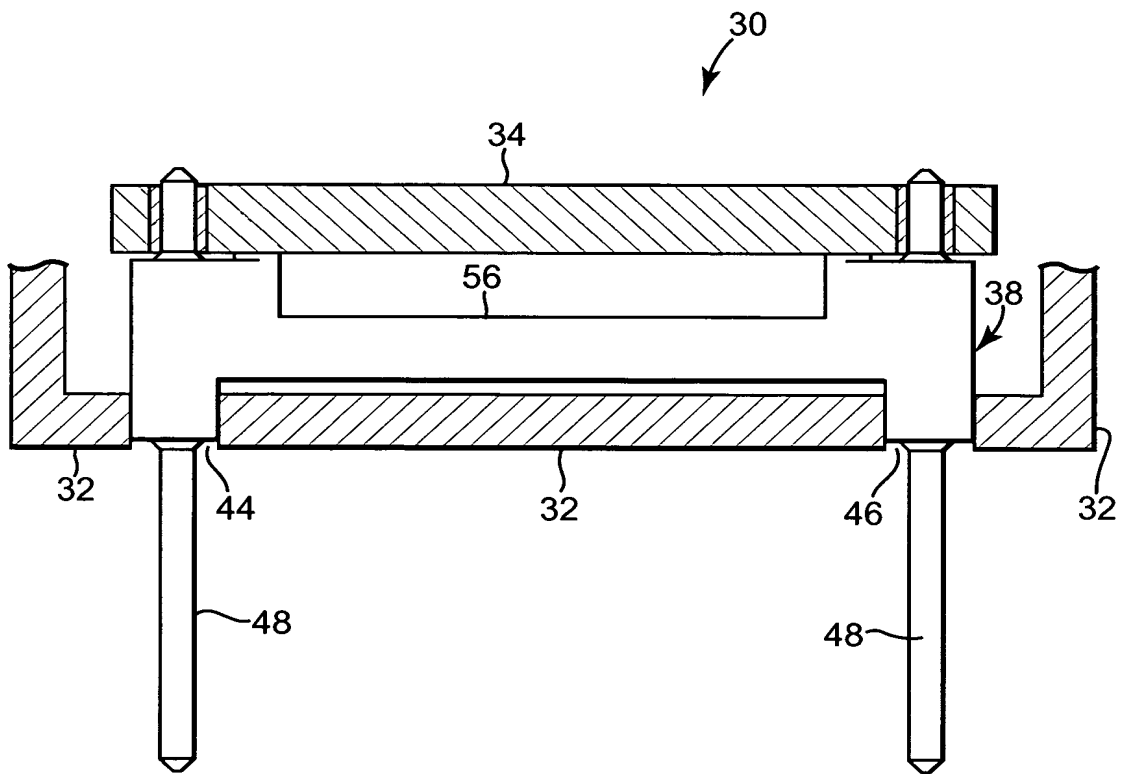


**Fig. 1**

**PIN HEADER**

James Duncan et al.

2/10

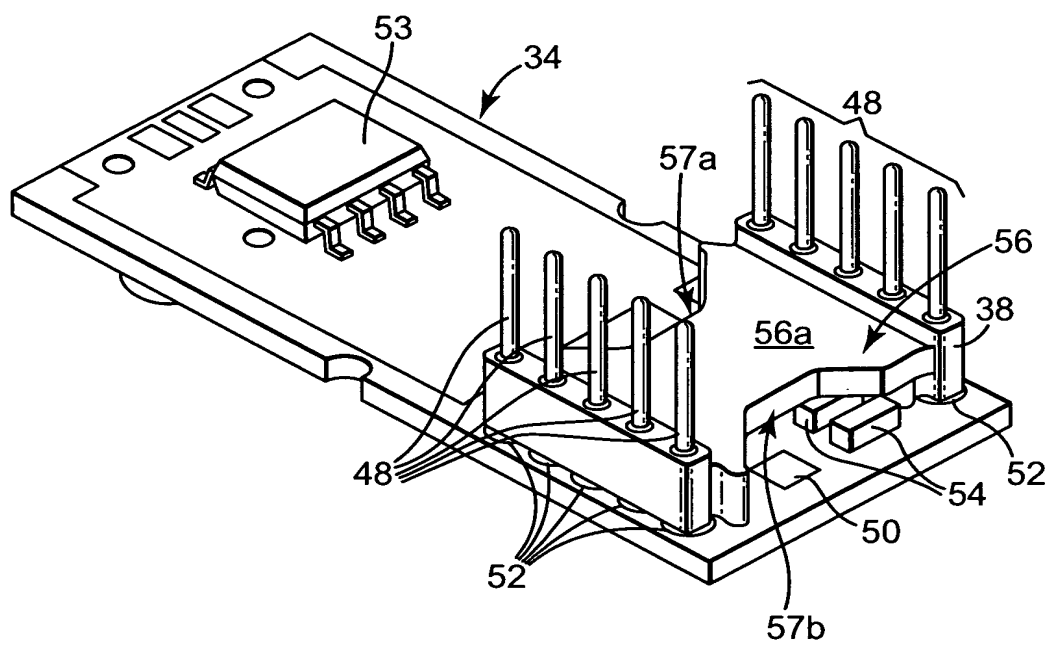


**Fig. 2**

**PIN HEADER**

James Duncan et al.

3/10

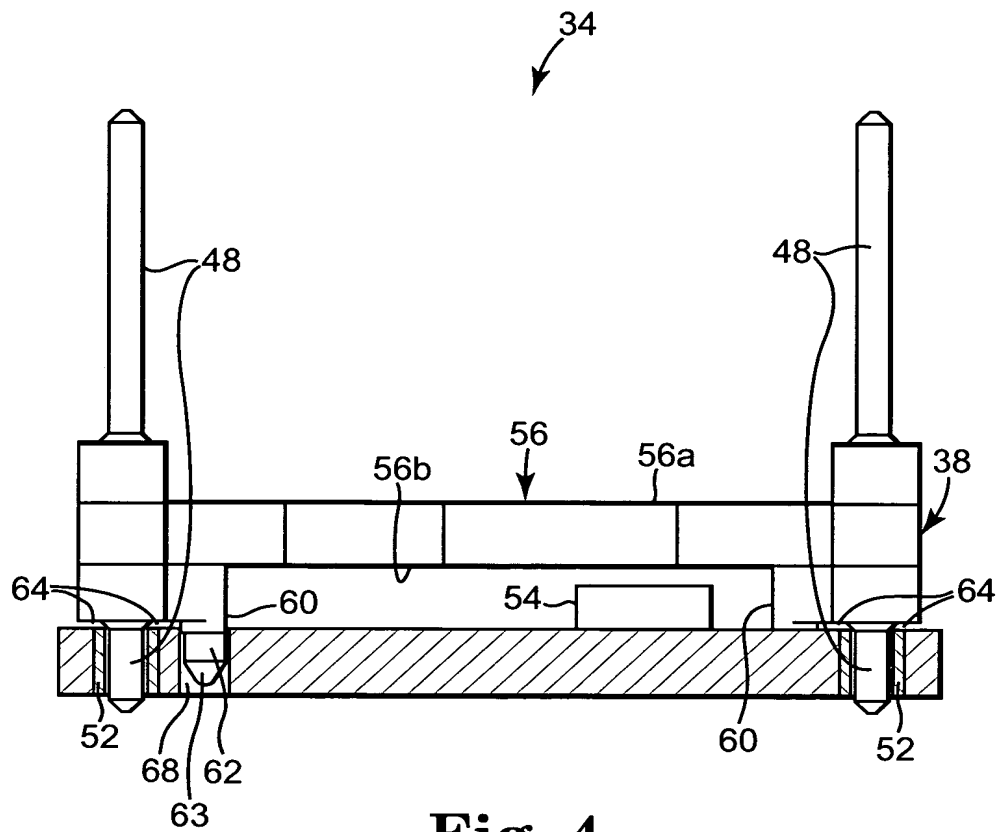


**Fig. 3**

**PIN HEADER**

James Duncan et al.

4/10

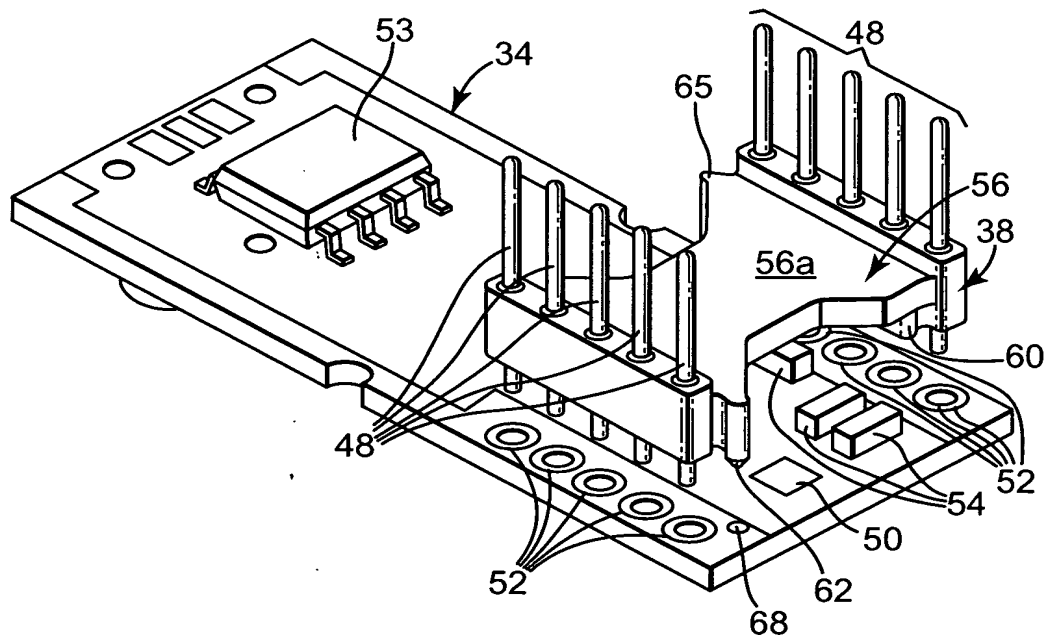


**Fig. 4**

**PIN HEADER**

James Duncan et al.

5/10

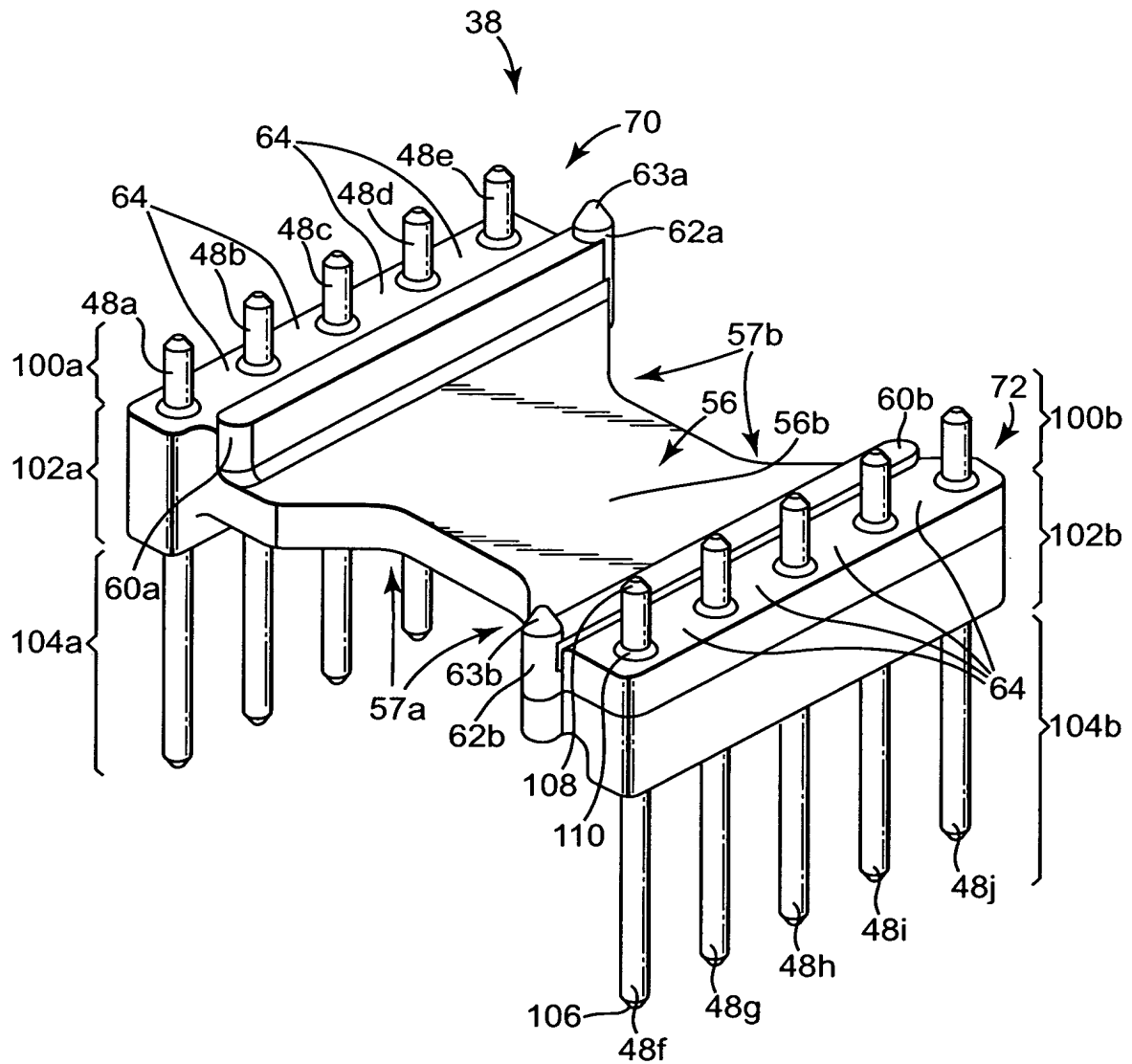


**Fig. 5**

**PIN HEADER**

James Duncan et al.

6/10

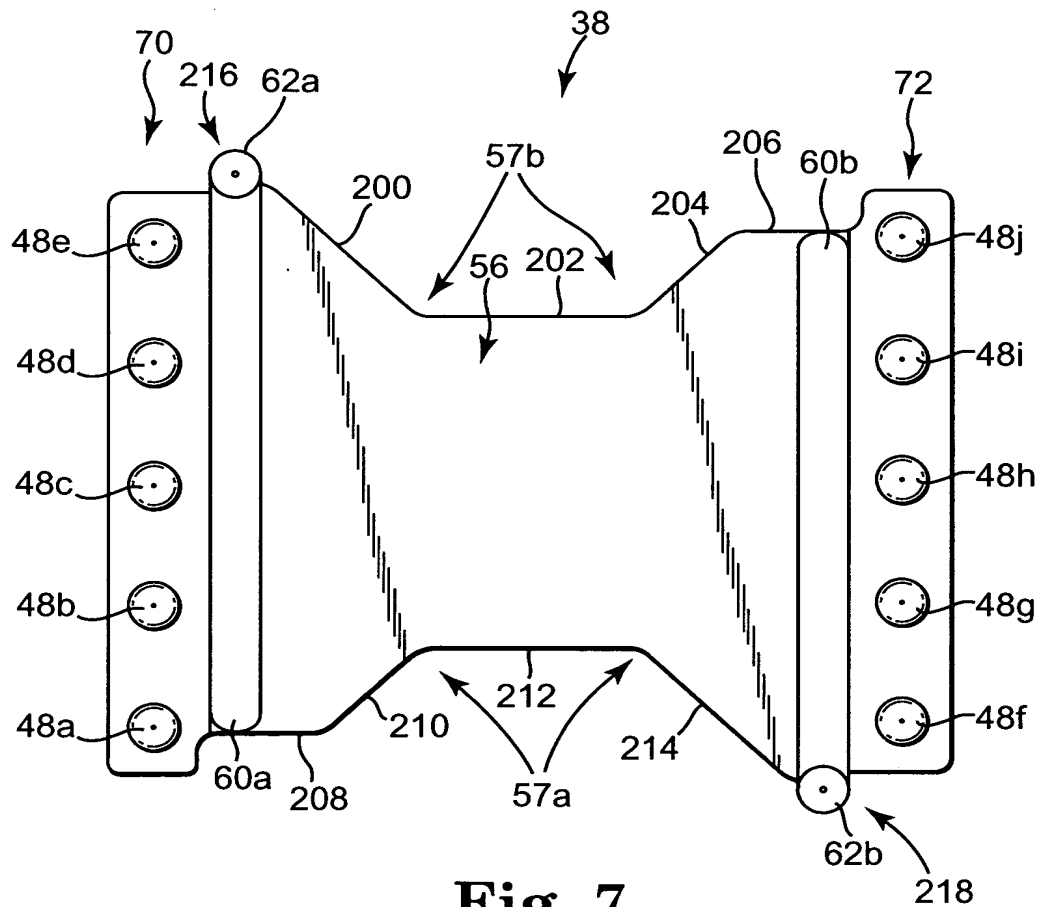


**Fig. 6**

**PIN HEADER**

James Duncan et al.

7/10

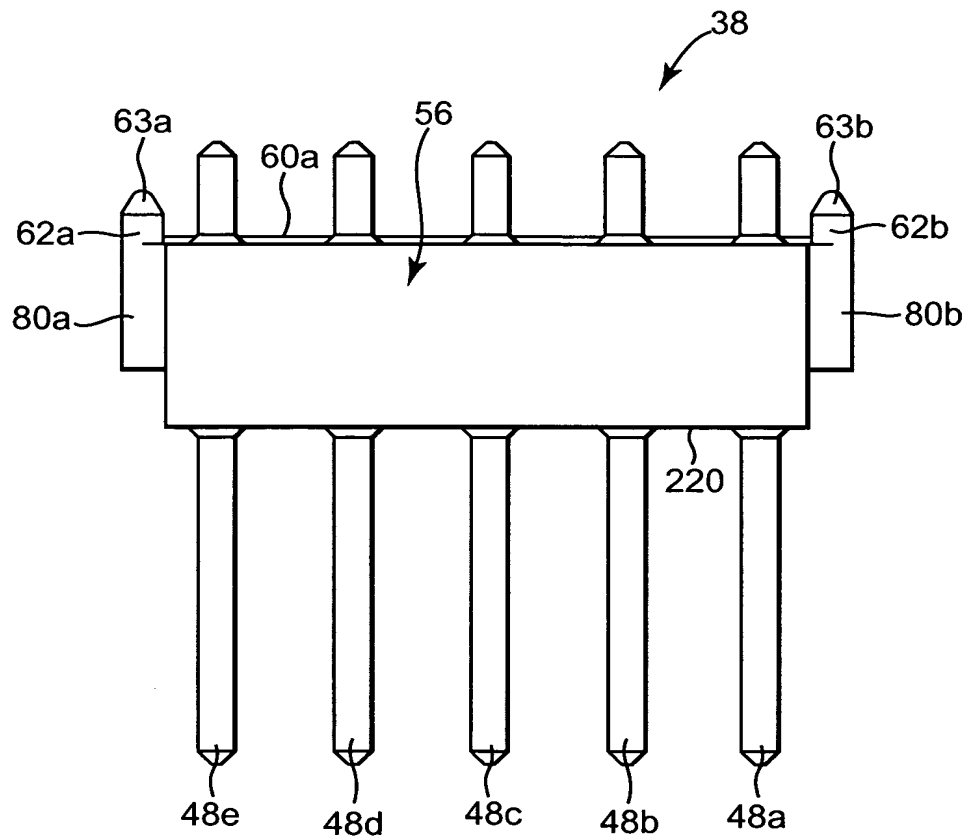


**Fig. 7**

**PIN HEADER**

James Duncan et al.

8/10



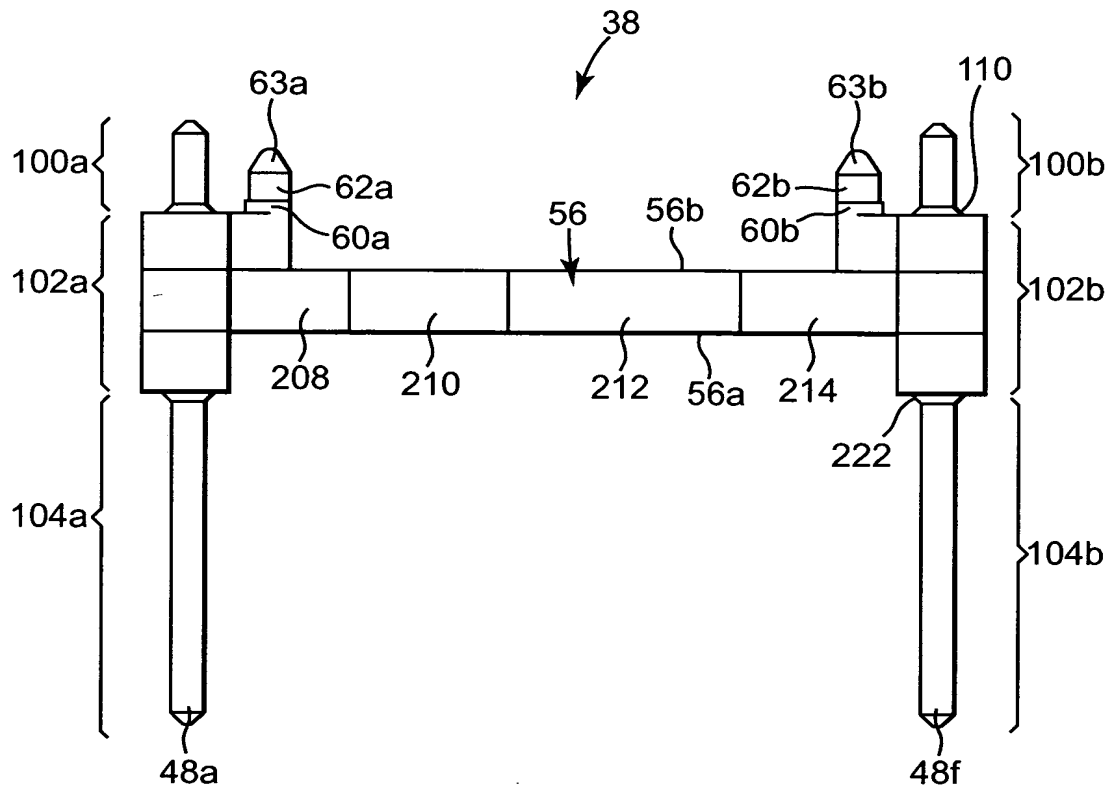
**Fig. 8**



**PIN HEADER**

James Duncan et al.

9/10

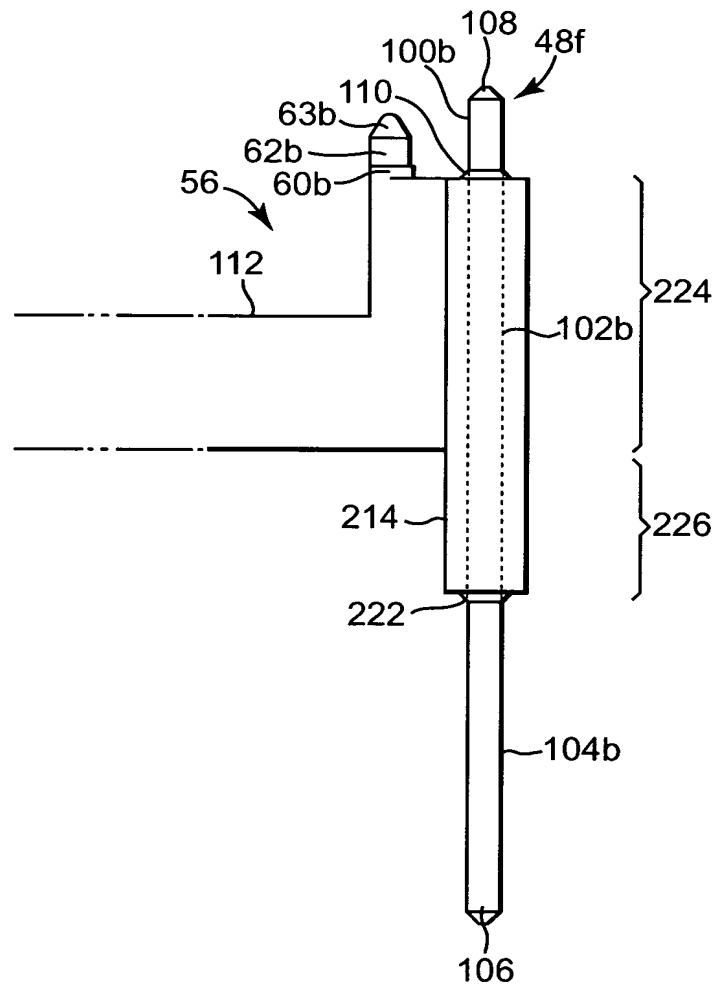


**Fig. 9**

**PIN HEADER**

James Duncan et al.

10/10



**Fig. 10**